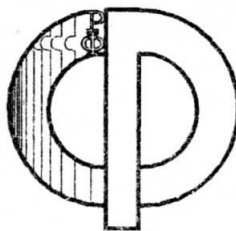


ISSN 0021-3462

ИЗВЕСТИЯ ВЫСШИХ УЧЕБНЫХ ЗАВЕДЕНИЙ



РАДИОФИЗИКА

1997

ТОМ 40

12

ИЗДАНИЕ НИЖЕГОРОДСКОГО УНИВЕРСИТЕТА
И НАУЧНО-ИССЛЕДОВАТЕЛЬСКОГО
РАДИОФИЗИЧЕСКОГО ИНСТИТУТА

УДК 621.391

ОПТИМАЛЬНЫЙ ПРИЁМ СИГНАЛА С НЕИЗВЕСТНОЙ ДЛИТЕЛЬНОСТЬЮ НА ФОНЕ БЕЛОГО ШУМА

А. П. Трифонов, В. И. Парфёнов, Д. В. Мишин

Получен алгоритм оптимального (байесовского) обнаружения и измерения длительности прямоугольного импульса, наблюдаемого на фоне белого гауссовского шума. В результате моделирования на ЭВМ синтезированных алгоритмов определены потенциальные характеристики приёма.

В В Е Д Е Н И Е

Задача приёма прямоугольного видеоимпульса с неизвестной длительностью на фоне гауссовского белого шума рассмотрена в [1, 2 и др.]. Показано, что полезный сигнал в этом случае является разрывным по неизвестному параметру, выполнен синтез максимально правдоподобных (МП) обнаружителя и измерителя длительности импульса. Найдены точные выражения для характеристик приёма такого сигнала. Однако известно [2–4], что применение байесовского подхода в задачах обработки сигнала может обеспечить более высокую эффективность, чем МП алгоритмы. Так, например, в [3] рассмотрен байесовский алгоритм приёма импульсного сигнала со случайными временем прихода и амплитудой, и показана его достаточно высокая эффективность. В связи с этим представляет интерес задача синтеза и анализа характеристик байесовских обнаружителя и измерителя длительности импульса. Ниже показано, что в рамках байесовского подхода [2–4] можно получить простые алгоритмы и обнаружения сигнала с неизвестной длительностью, и оценивания его длительности.

1. ОБНАРУЖЕНИЕ ПРЯМОУГОЛЬНОГО ИМПУЛЬСА С НЕИЗВЕСТНОЙ ДЛИТЕЛЬНОСТЬЮ

Рассмотрим задачу обнаружения прямоугольного импульса

$$s(t, \tau_0) = \begin{cases} a, & 0 \leq t \leq \tau_0, \\ 0, & t < 0, t > \tau_0, \end{cases} \quad (1)$$

А. П. Трифонов, В. И. Парфёнов, Д. В. Мишин

1531

наблюдаемого в течение интервала времени $[0; T]$ на фоне аддитивного гауссовского белого шума $n(t)$ с односторонней спектральной плотностью N_0 . Здесь длительность импульса $\tau \in [T_1; T_2]$ предполагается случайной величиной с априорной плотностью вероятности $W(\tau)$, причём $T_2 \leq T$. Реализация наблюдаемых данных при этом записывается в виде $x(t) = \gamma_0 s(t, \tau_0) + n(t)$. Индекс "0" здесь и далее означает истинное значение соответствующего параметра. Параметр γ_0 — дискретный и принимает два значения: $\gamma_0 = 0$ (в наблюдаемой реализации сигнал отсутствует) и $\gamma_0 = 1$ (в наблюдаемой реализации сигнал присутствует). Априорные вероятности отсутствия и наличия сигнала известны и равны $p_0 = P(\gamma_0 = 0)$ и $p_1 = P(\gamma_0 = 1) = 1 - p_0$. По наблюдаемой реализации $x(t)$ необходимо оптимальным образом решить, какое значение принимает параметр γ , т. е. определить, присутствует сигнал или нет.

Логарифм функционала отношения правдоподобия (ФОП) в этом случае будет зависеть от двух параметров γ и τ и в соответствии с [1] может быть записан в виде

$$L(\gamma, \tau) = \frac{2\gamma a}{N_0} \int_0^\tau \left[x(t) - \frac{a}{2} \right] dt. \quad (2)$$

Оценка дискретного параметра γ в соответствии с алгоритмом максимального правдоподобия (МП) может быть найдена как

$$\hat{\gamma} = \arg \sup_{\gamma} \{ \sup_{\tau} L(\gamma, \tau) \}.$$

Учитывая, что $L(\gamma = 0, \tau) = 0$, получаем, что МП алгоритм обнаружения импульса (1) заключается в сравнении с нулевым порогом величины абсолютного максимума логарифма ФОП

$$\sup_{\tau} L(\tau) \stackrel{\hat{\gamma}=1}{\gtrless} 0, \quad (3)$$

где

$$L(\tau) = L(\gamma = 1, \tau). \quad (4)$$

Заметим, что вместо алгоритма (3) можно использовать обобщённый МП алгоритм обнаружения [1], основанный на сравнении величины абсолютного максимума логарифма ФОП с некоторым порогом c

$$\sup_{\tau} L(\tau) \stackrel{\hat{\gamma}=1}{\gtrless} c. \quad (5)$$

Порог c в (5) может выбираться, исходя из различных критериев оптимальности.

На рис. 1 штриховой линией выделена структурная схема МП обнаружителя прямоугольного импульса с неизвестной длительностью, где обозначено: 1 — интегратор на интервале времени $[0; t]$, 2 — пиковый детектор, определяющий наибольшее значение сигнала, 3 — пороговое устройство, осуществляющее сравнение выходного сигнала пикового детектора с порогом s и выносящее решение о наличии сигнала на входе обнаружителя, если порог превышен, и решение об отсутствии сигнала, если порог не превышен. Структурная схема МП обнаружителя является одноканальной по неизвестному параметру s , следовательно, достаточно легко реализуема аппаратурно, что является достаточно редким исключением в задаче обнаружения сигнала с неизвестным параметром [1].

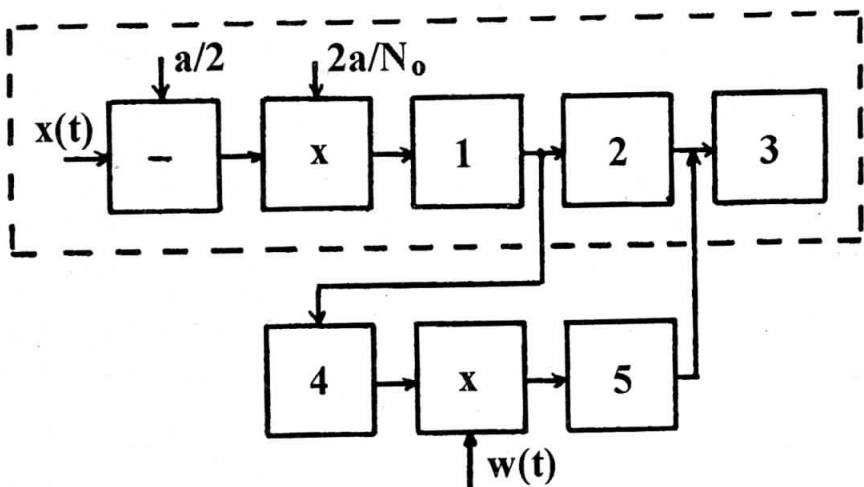


Рис. 1.

Качество обнаружения будем характеризовать средней вероятностью ошибки [1]

$$P_e = p_0\alpha + p_1\beta, \quad (6)$$

где α — вероятность ошибки 1-го рода (ложной тревоги), $\beta = \int_{T_1}^{T_2} \beta(\tau)W(\tau) d\tau$ — безусловная вероятность ошибки 2-го рода (пропуска сигнала), а $\beta(\tau_0)$ — условная вероятность пропуска сигнала с длительностью τ_0 . В [1] найдены точные выражения для вероятностей ошибок

$$\alpha = 1 - \frac{1}{\sqrt{2\pi\eta_1}} \int_0^\infty \exp \left[-\frac{(x - u - \eta_1 z/2)^2}{2\eta_1} \right] \times$$

$$\begin{aligned} & \times \left\{ \Phi \left[\frac{z}{2} \sqrt{1 - \eta_1} + \frac{x}{\sqrt{1 - \eta_1}} \right] - \exp(-xz) \Phi \left[\frac{z}{2} \sqrt{1 - \eta_1} - \frac{x}{\sqrt{1 - \eta_1}} \right] \right\} dx, \\ \beta(\tau_0) = & \frac{1}{\sqrt{2\pi\eta_0}} \int_0^\infty \exp \left[-\frac{(x + \eta_0 z/2)^2 + u^2 - \eta_0 uz}{2\eta_0} \right] \left\{ \exp \left(\frac{ux}{\eta_0} \right) \times \right. \\ & \times \Phi \left[u \sqrt{\frac{\eta_0 - \eta_1}{\eta_0 \eta_1}} + x \sqrt{\frac{\eta_1}{\eta_0(\eta_0 - \eta_1)}} \right] - \exp \left(-\frac{ux}{\eta_0} \right) \Phi \left[u \sqrt{\frac{\eta_0 - \eta_1}{\eta_0 \eta_1}} - \right. \\ & \left. \left. - x \sqrt{\frac{\eta_1}{\eta_0(\eta_0 - \eta_1)}} \right] \right\} \left\{ \Phi \left[\frac{z}{2} \sqrt{1 - \eta_0} + \frac{x}{\sqrt{1 - \eta_0}} \right] - \exp(-xz) \times \right. \\ & \left. \times \Phi \left[\frac{z}{2} \sqrt{1 - \eta_0} - \frac{x}{\sqrt{1 - \eta_0}} \right] \right\} dx, \end{aligned} \quad (7)$$

где $\Phi(x) = \frac{1}{\sqrt{2\pi}} \int_{-\infty}^x \exp(-t^2/2) dt$ — интеграл вероятности, $z^2 = 2a^2T_2/N_0$ —

максимальное отношение сигнал/шум, $\eta_0 = \tau_0/T_2$, $\eta_1 = T_1/T_2$, $u = c/z$ — нормированный порог обнаружения. В качестве критерия оптимальности выберем критерий минимума средней вероятности ошибки (6) и будем находить порог c , исходя из этого критерия. Очевидно, получаемый таким образом порог $c^* = \arg \inf P_e(c)$ будет зависеть от z и p_0 . Назовём такой порог оптимальным, а соответствующий алгоритм обнаружения — МП обнаружителем с оптимизированным порогом.

Хорошо известно [1–3 и др.], что при байесовском подходе оптимальным правилом обнаружения сигнала является правило, обеспечивающее минимум среднего риска. Рассмотрим возможность применения классического байесовского подхода к обнаружению импульса (1) с неизвестной длительностью. Для синтеза байесовского алгоритма используем простую функцию потерь, у которой стоимости правильных решений принимаются нулевыми, а стоимости ошибок первого и второго рода одинаковыми, что соответствует критерию идеального наблюдателя. Тогда оптимальный (байесовский) алгоритм обнаружения импульса (1) при априорной плотности вероятности длительности $W(\tau)$ заключается в формировании величины

$$I = \int_{T_1}^{T_2} \exp[L(\tau)] W(\tau) d\tau \quad (9)$$

и сравнении её с порогом p_0/p_1 . Из сопоставления обобщённого МП алгоритма обнаружения (5) и байесовского алгоритма обнаружения (8) следует, что порог c в алгоритме (5) может быть выбран таким же, как для байесовского, т. е. равным $\ln(p_0/p_1)$.

В большинстве случаев байесовские обнаружители (БО) сигналов с не-

известными параметрами достаточно сложно реализуемы практически. Обычно БО являются многоканальными, причём для полностью оптимальной реализации число каналов должно быть бесконечным [1]. Как следует из (8), одно из немногих исключений, наряду с обнаружением сигнала с неизвестным моментом появления [3] — это БО прямоугольного импульса с неизвестной длительностью. Структурная схема такого обнаружителя приведена на рис. 1, из которого необходимо исключить блок 2. На этом рисунке блок 4 — это нелинейный элемент с экспоненциальной характеристикой, блок 5 — интегратор на интервале времени $[T_1; T_2]$, а пороговое устройство 3 осуществляет сравнение выходного сигнала интегратора 5 с порогом p_0/p_1 и выносит решение о наличии сигнала, если порог превышен, и решение об отсутствии сигнала, если порог не превышен. Из рис. 1 следует, что схема БО является одноканальной, однако она несколько сложнее схемы МП обнаружителя.

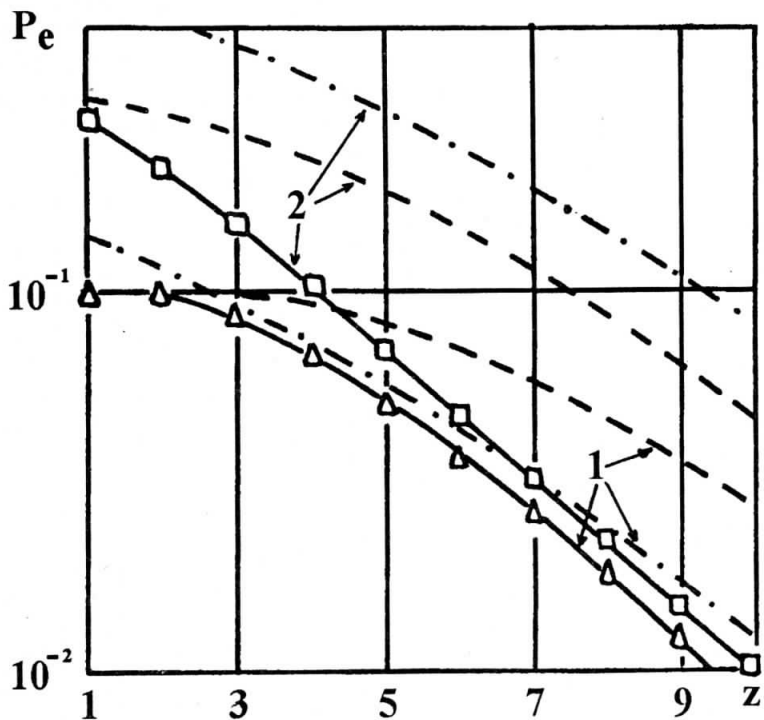


Рис. 2.

Рассмотрим характеристики МП обнаружителя импульса (1). На рис. 2 представлены зависимости средней вероятности ошибки P_e (6) от отношения сигнал/шум z для $\eta_1 = 0,1$ и априорной плотности вероятности неизвестной длительности

$$W(\tau) = \frac{1}{T_2 - T_1} \begin{cases} 1, & T_1 \leq \tau \leq T_2, \\ 0, & \tau < T_1, \tau > T_2, \end{cases} \quad (10)$$

Сплошные линии на рис. 2 соответствуют оптимальному порогу обнаружения $c = c^*$, штриховые — порогу $c = \ln(p_0/p_1)$, а штрих-пунктирные — порогу $c = 0$. Кривые 1 построены для $p_0 = 0.1$, кривые 2 — $p_0 = 0.7$. Анализ рис. 2 свидетельствует о целесообразности использования МП обнаружителя с оптимизированным порогом, особенно при малых значениях p_0 и не очень малых значениях z . Отметим, что исследование БО (8) затруднительно, и найти аналитически его характеристики не удается.

2. ОЦЕНКА ДЛИТЕЛЬНОСТИ ПРЯМОУГОЛЬНОГО ВИДЕОИМПУЛЬСА

Рассмотрим теперь задачу оценки длительности импульса (1), полагая, что $p_1 = 1$. Алгоритм максимального правдоподобия оценки длительности [2] состоит в поиске положения $\hat{\tau}$, абсолютного (наибольшего) максимума функционала $L(\tau)$ (4): $\hat{\tau} = \arg \sup L(\tau)$. Следовательно, структура МП алгоритма оценивания не зависит от априорной плотности вероятности параметра τ . Структурная схема МП измерителя длительности

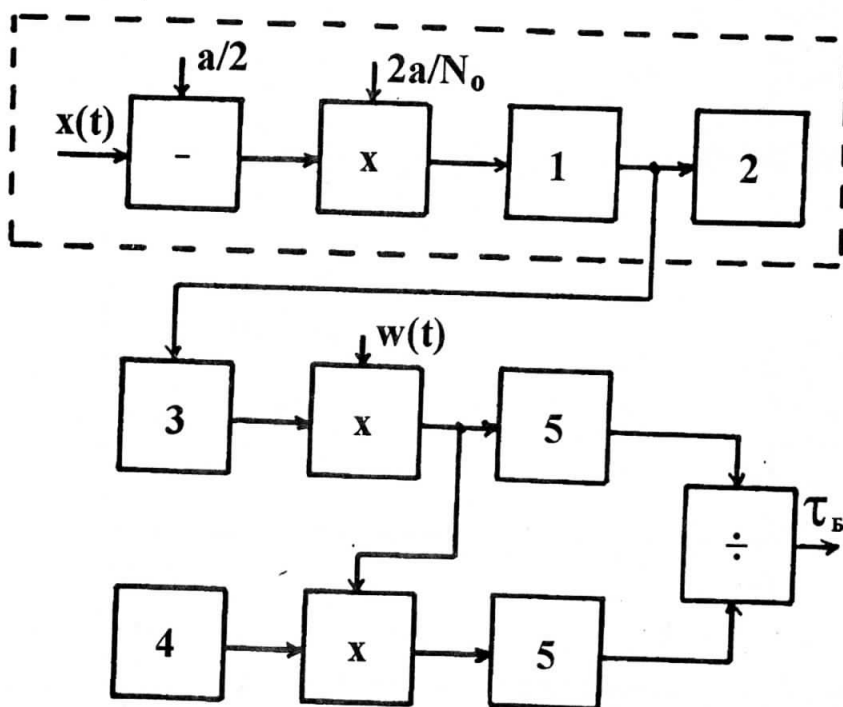


Рис. 3.

выделена на рис. 3 штриховой линией, где обозначено: 1 — интегратор на интервале времени $[0; t]$, 2 — устройство поиска положения абсолютного максимума сигнала на интервале $[T_1, T_2]$, являющегося оценкой МП $\hat{\tau}$.

Точность оценки будем характеризовать безусловным рассеянием (средним квадратом ошибки) оценки длительности

$$V(\hat{\tau}) = \int_{T_1}^{T_2} V(\hat{\tau}|\tau) W(\tau) d\tau, \quad (11)$$

где $V(\hat{\tau}|\tau_0)$ — условное рассеяние МП оценки длительности сигнала (1). В [2] найдено точное выражение для условного рассеяния оценки длительности

$$\begin{aligned} V(\hat{\tau}|\tau_0) &= T_2^2 \left[(1 - \eta_0)^2 - 2I_2(\eta_0) + 2\eta_0 I_1(\eta_0) \right], \\ I_k(\eta_0) &= \int_{\eta_1}^1 \eta^{k-1} F(\eta) d\eta, \quad F(\eta) = \begin{cases} P_1(\eta), & \eta_1 \leq \eta < \eta_0, \\ 1 - P_2(\eta), & \eta_0 \leq \eta \leq 1, \end{cases} \\ P_k(\eta) &= \sqrt{\frac{2}{\pi |\eta - \eta_0|}} \int_0^\infty \int_0^\infty \left\{ \sqrt{\frac{2}{\pi |\eta_k - \eta|}} \exp \left[-\frac{(x_1 + z|\eta_k - \eta|/2)^2}{2|\eta_k - \eta|} \right] + \right. \\ &\quad + z \exp(-zx_1) \Phi \left[\frac{z}{2} \sqrt{|\eta_k - \eta|} - \frac{x_1}{|\eta_k - \eta|} \right] \left. \right\} \operatorname{sh} \left(\frac{x_1 x_2}{|\eta - \eta_0|} \right) \times \\ &\quad \times \exp \left[-\frac{(x_2 + z|\eta - \eta_0|/2)^2 + x_1^2 - zx_1|\eta - \eta_0|}{2|\eta - \eta_0|} \right] \left\{ \Phi \left[\frac{z}{2} \sqrt{|\eta_{3-k} - \eta_0|} + \right. \right. \\ &\quad \left. \left. + \frac{x_2}{\sqrt{|\eta_{3-k} - \eta_0|}} \right] - \exp(-zx_2) \Phi \left[\frac{z}{2} \sqrt{|\eta_{3-k} - \eta_0|} - \frac{x_2}{\sqrt{|\eta_{3-k} - \eta_0|}} \right] \right\} dx_1 dx_2, \end{aligned}$$

где $\eta_k = T_k/T_2$, $k = 1, 2$, $\eta = \tau/T_2$.

Байесовский алгоритм оценивания при квадратичной функции потерь минимизирует средний квадрат ошибки (рассеяние) оценки. Байесовская оценка длительности в рассматриваемых условиях определяется как [4]

$$\tau_B = \int_{T_1}^{T_2} \tau W(\tau) \exp[L(\tau)] d\tau / \int_{T_1}^{T_2} W(\tau) \exp[L(\tau)] d\tau. \quad (12)$$

Структурная схема байесовского алгоритма оценивания длительности изображена на рис. 3, из которого следует исключить блок 2. Остальные блоки обозначены: 3 — нелинейный элемент с экспоненциальной характеристикой, 4 — генератор линейно изменяющегося напряжения, 5 — интеграторы на интервале времени $[T_1; T_2]$. Очевидно, что аппаратурная реализация байесовского измерителя длительности несколько сложнее МП измерителя. Тем не менее, как и при оценивании момента появления импульса [3], блок-схема байесовского измерителя длительности является одноканальной по оцениваемому параметру. Это существенно облегчает аппаратурную реализацию байесовского алгоритма оценки.

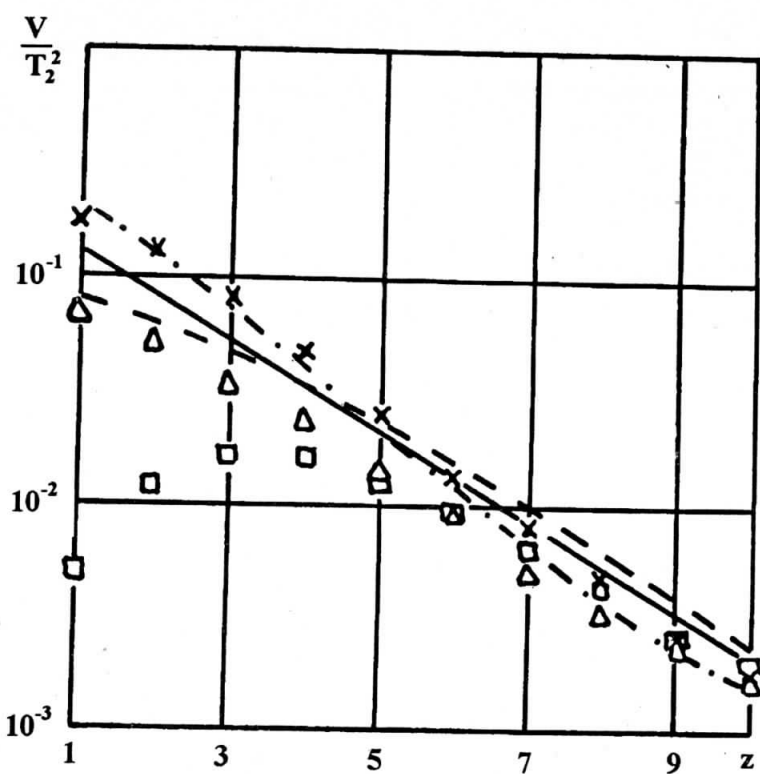


Рис. 4.

На рис. 4 приведены зависимости условного и безусловного рассеяний оценок МП длительности импульса от отношения сигнал/шум z для $\eta_1 = 0,1$ и априорной плотности вероятности (9). Сплошной линией показано безусловное рассеяние оценки МП, рассчитанное по формуле (10), штриховой — условное рассеяние оценки МП $V(\hat{\tau}|\tau_0)$, рассчитанное по формуле (11) при $\eta_0 = (\eta_1 + 1)/2$, и штрих-пунктирной — условное рассеяние оценки (11) при $\eta_0 = \eta_1$. Следует отметить, что теоретический анализ байесовского измерителя, как и байесовского обнаружителя осуществить не удается. В связи с этим исследование эффективности байесовских алгоритмов обнаружения и оценки было выполнено методами статистического моделирования на ЭВМ.

3. РЕЗУЛЬТАТЫ СТАТИСТИЧЕСКОГО МОДЕЛИРОВАНИЯ

Представим логарифм ФОП $L(\eta)$ (4) в виде $L(\eta) = S(\eta, \eta_0) + N(\eta)$, где $\eta = \tau/T_2$. Здесь $S(\eta, \eta_0) = \langle L(\eta) \rangle = z^2 [\gamma_0 \min(\eta, \eta_0) - \eta/2]$, $N(\eta) = 2a \int_0^\tau n(t) dt/N_0$ — винеровский процесс с нулевым средним значением и дисперсией $z^2\eta$. При моделировании вырабатывались отсчеты функции

$N(\eta)$ с шагом $\Delta\eta$. На основе сформированных дискретных отсчётов реализации этого процесса аппроксимировались ступенчатыми функциями с максимальной относительной среднеквадратичной погрешностью $\epsilon = 0,1$. Согласно [5] винеровский процесс $N(\eta)$ представлялся через дискретные отсчёты как $N(n\Delta\eta) = z\epsilon\sqrt{\eta_1} \sum_{k=0}^n X[k]$, где $X[k]$ — гауссовские независимые случайные величины с нулевым средним значением и единичной дисперсией. Таким образом, дискретные отсчёты логарифма ФОП (4) формировались с шагом $\Delta\eta = \eta_1\epsilon^2$ в виде

$$L[n\Delta\eta] = \eta_1 z^2 \epsilon^2 [\gamma_0 \min(n, n_0) - n/2] + z\epsilon\sqrt{\eta_1} \sum_{k=0}^n X[k],$$

где $n_0 = \text{ent}(\eta_0/\eta_1\epsilon^2)$, $\text{ent}(.)$ — целая часть числа. На основе дискретных отсчётов логарифма ФОП (4) вырабатывались величины (8) и (12)

$$I = \frac{\eta_1\epsilon^2}{1 - \eta_1} \sum_{n=n_{\min}}^{n_{\max}} \exp[L(n\Delta\eta)], \quad (13)$$

$$\tau_B = T_2 \sum_{n=n_{\min}}^{n_{\max}} n \exp[L(n\Delta\eta)] / \left(\sum_{n=n_{\min}}^{n_{\max}} \exp[L(n\Delta\eta)] \right), \quad (14)$$

где $n_{\min} = \text{ent}(1/\epsilon^2)$, $n_{\max} = \text{ent}(1/\eta_1\epsilon^2)$.

Моделирование БО осуществлялось следующим образом. Формировалась величина (13) при $\gamma_0 = 0$ и $\gamma_0 = 1$ и сравнивалась с порогом p_0/p_1 . Если при $\gamma_0 = 0$ порог был превышен, то фиксировалась ошибка ложной тревоги. Если при $\gamma_0 = 1$ выполнялось условие $I < p_0/p_1$, то фиксировалась ошибка пропуска сигнала. В качестве оценок вероятностей ложной тревоги и пропуска сигнала использовались относительные частоты появления соответствующих ошибок. При моделировании байесовского алгоритма оценивания формировалась величина (14), которая является байесовской оценкой длительности импульса (1). Причём, истинное значение нормированной длительности $\eta_0 = \tau_0/T_2$ в каждом испытании выбиралось либо фиксированным (на краю или в центре априорного интервала $[\eta_1; 1]$) при определении условных характеристик, либо случайным, распределённым равномерно на интервале $[\eta_1; 1]$ — при определении безусловных характеристик. В процессе моделирования было реализовано 10^5 циклов испытаний для каждого значения z . Следовательно, с вероятностью 0,9 границы доверительных интервалов отклоняются от экспериментальных значений средней вероятности ошибки P_e и условного и безусловного рассеяний не более, чем на 15% при $P_e > 10^{-3}$, $V(\hat{\tau})/T_2^2 > 10^{-3}$.

Результаты моделирования приведены на рис. 2 и рис. 4. На рис. 2 нанесены экспериментальные значения средней вероятности ошибки БО, которые изображены треугольниками для $p_0 = 0,1$ и квадратиками для

$p_0 = 0,7$. Сравнение экспериментальных значений со сплошными кривыми на рис. 2 свидетельствует о практически полном совпадении характеристик обнаружения БО и МП обнаружителя с оптимизированным порогом. Это позволяет рекомендовать формулы (6) и (7) для расчёта средней вероятности ошибки при использовании БО: $P_{eB} \simeq \inf P_e(c)$.

На рис. 4 нанесены экспериментальные значения условного и безусловного рассеяний байесовской оценки длительности, которые обозначены: треугольниками — безусловное рассеяние байесовской оценки длительности, квадратиками — условное рассеяние байесовской оценки при $\eta_0 = (\eta_1 + 1)/2$ и крестиками — условное рассеяние при $\eta_0 = \eta_1$. Результаты моделирования байесовского измерителя и сравнение их с теоретическими формулами для характеристик МП измерителя показывают, что условное рассеяние байесовской оценки при $\eta_0 = (\eta_1 + 1)/2$ меньше условного рассеяния оценки МП. Однако, если $\eta_0 = \eta_1$, то при малых z условное рассеяние байесовской оценки меньше, а при больших z — больше условного рассеяния оценки МП. Кроме того, с ростом параметра η_1 величины этих условных рассеяний уменьшаются. Безусловное рассеяние байесовской оценки длительности меньше рассеяния МП оценки при всех значениях отношения сигнал/шум. В частности, $\chi = V(\tau_B)/V(\hat{\tau}) \simeq 0,7$ при $z \gtrsim 5$, что совпадает с аналогичным соотношением, полученным в [6]. Если же отношение сигнал/шум z мало ($z \lesssim 1$), то $\chi = V(\tau_B)/V(\hat{\tau}) \simeq 0,4$. Причём полученные значения χ практически не зависят от η_1 .

ЗАКЛЮЧЕНИЕ

При одинаковом объёме априорной информации и равномерном априорном распределении неизвестной длительности характеристики байесовского и максимально-правдоподобного алгоритмов обнаружения практически совпадают. Следовательно, вместо относительно сложного байесовского обнаружителя можно использовать более простой максимально-правдоподобный обнаружитель с оптимизированным порогом, так как средние вероятности ошибок для этих двух алгоритмов практически одинаковы. При оценке длительности прямоугольного импульса, если не требуется очень высокая точность оценки, возможно применение максимально-правдоподобного измерителя, более просто реализуемого аппаратурно. Если же необходимо обеспечить предельно достижимую точность оценки, то целесообразно использовать байесовский измеритель. Приведённые результаты получены при поддержке Российского фонда фундаментальных исследований.

ЛИТЕРАТУРА

1. Трифонов А. П. Теория обнаружения сигналов. — М.: Радио и связь, 1984. С. 12.
2. Трифонов А. П., Шинаков Ю. С. Совместное различение сигналов и оценка их параметров на фоне помех. — М.: Радио и связь, 1986. 264 с.
3. Ванжа А. В., Силаев А. М. //Изв. ВУЗов. Радиофизика, 1995. Т. 38. № 12. С. 1257.
4. Куликов Е. И., Трифонов А. П. Оценка параметров сигналов на фоне помех. — М.: Сов. радио, 1978. 296 с.
5. Быков В. В. Цифровое моделирование в статистической радиотехнике. — М.: Сов. радио, 1971. 326 с.
6. Ибрагимов И. А., Хасьминский Р. З. Асимптотическая теория оценивания. — М.: Наука, 1979. 528 с.

Воронежский государственный
университет

Поступила в редакцию
13 июня 1997 г.

THE OPTIMAL RECEIVING OF A SIGNAL WITH UNKNOWN DURATION AT THE BACKGROUND OF WHITE NOISE

A. P. Trifonov, V. I. Parfenov, D. V. Mishin

The algorithm of the optimal (bayesian) detection and estimation of a rectangular pulse duration at the background of white noise is obtained. Potential characteristics of receiving are derived considering the results of computer modelling.